

## 高血壓性 心臟病에 있어서 心室擴張期 大動脈根後壁의 運動速度에 關한 研究

圓光大學校 醫科大學 內科學教室

朴 良 圭

### =ABSTRACT=

The Changes of the Velocities of the Motions of the Posterior Aortic Wall in Hypertensive Heart Disease

Yang Kyu Park, M.D.

*Department of Internal Medicine, Wonkwang University Medical School*

To analyse the rate of changes of left atrial demension in ventricular diastole in hypertensive heart disease, the velocities of early diastolic(OR) slope and presystolic (AV) slope of the motions of the posterior aortic wall were measured using M-mode echocardiogram. 18 normal subjects (Group I), 17 hypertensive patients without left ventricular thickening (Group II), 16 hypertensive patients with thickening of either interventricular septum or left ventricular posterior wall (Group III), 15 hypertensive patients with both interventricular septum and left ventricular posterior wall without dilation of left ventricle (Group IV) and 5 hypertensive patients with thickening and dilation of left ventricle (Group V) were compared.

Whereas %fractional shortening and AV slope decreased in only Group V, there was a progressive increase in left atrial dimension and a progressive decrease in the OR slope and patients without left atrial dilation in Group I also decrease in OR slope. The velocity of OR slope was correlated strongly with the thickness of left ventricular posterior wall ( $r = -0.62$ ,  $p < 0.001$ ), and weakly with left atrial dimension ( $r = 0.379$ ,  $p < 0.01$ ) but not with heart rate and %fractional shortening and the velocity of AV slope with %fractional shortening ( $r = 0.433$ ,  $p < 0.001$ ).

These data suggest that the velocity of OR slope appears to be an early indicator of abnormalities of left ventricular diastolic compliance and the velocity of AV slope an indicator of systolic abnormality and rapid filling of the left ventricle is reduced early in hypertension, even before left atrial dilation or left ventricular thickening are detectable.

## 緒論

鬱血性 心不全症의 大部分의 症狀 및 理學的 所見 즉 頸靜脈壓의 上昇, 肝腫大, 呼吸困難 및 胸部의 rales 等은 擴張期 心室內壓의 增加에 起因한다는 것은 잘 알려진 事實이나 지금까지 大部分의 研究는 左心室의 解剖學의 變化나 収縮期 機能에 對하여 이루어 졌고<sup>1)</sup> 最近에야 左心室의 擴張期 機能의 變化에 關心이 높아지고 있다.<sup>2-4)</sup>

高血壓性 心臟病에서 早期에 左心房에 變化가 온다는 報告는 많으나<sup>1,5)</sup>, 이러한 變化의 意義나 生成機轉에 關한

研究는 많지 않다<sup>3)</sup>. 따라서 著者は 高血壓性 心臟病에서 心室擴張期中 左心房直徑의 變化速度를 알기 為하여 心 echo 圖를 利用하여 大動脈根後壁의 擴張期 運動速度를 測定하여 左心室의 肥厚 및 機能과 比較하여 그 意義를 評하고 지금까지 報告된 左心室 compliance 指標들과 比較하여 그 結果를 報告한다.

## 對象

本態性高血壓(150/90 mmHg 以上) 또는 高血壓性 心臟病으로 診斷받아 治療中이거나 治療前인 患者 53例와 對照群으로 健康人 18例를 對象으로 하였으며 심한 貧血,

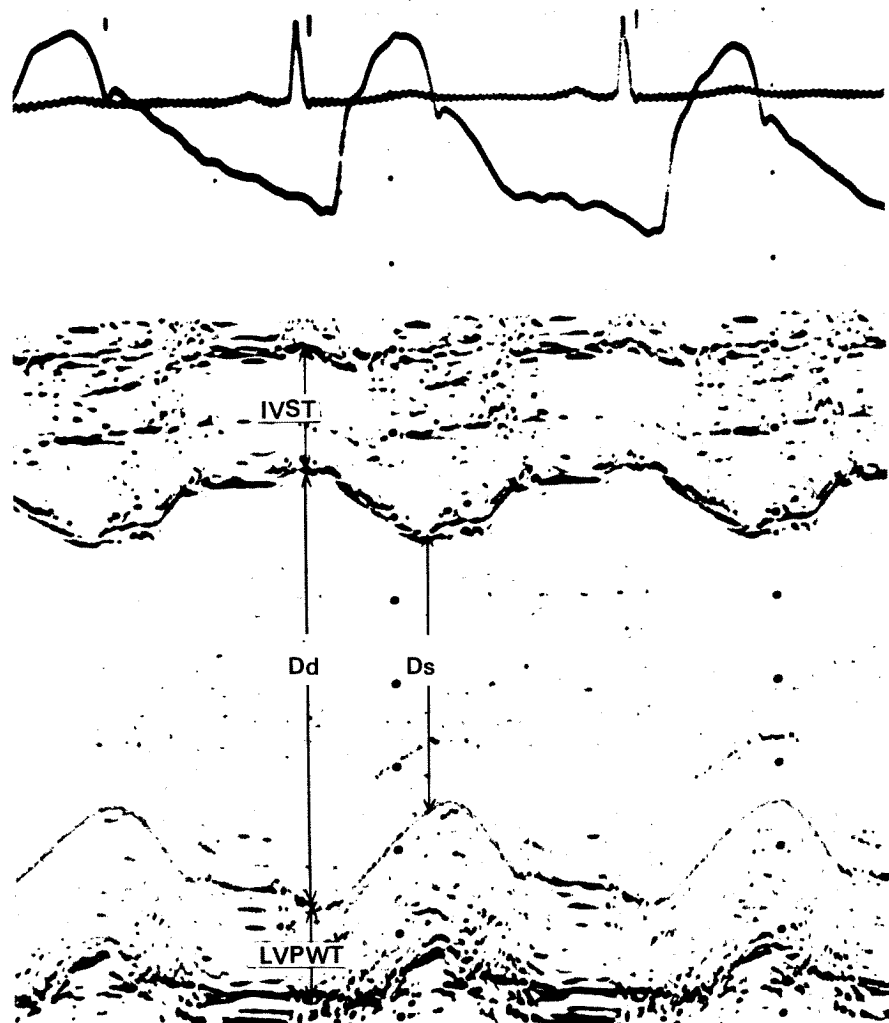


Fig. 1. An echocardiogram of left ventricular cavity in a hypertensive patient.

瓣膜疾患, 陳舊性 心筋硬塞症 및 狹心症이 있거나 心 echo 圖上 典型的인 肥厚性 閉鎖性 心筋症이 있는 경우는 本 研究에서 除外되었으며 總 71例의 對象을 5群으로 細分하였다.

第一群: 心臟病, 腎臟病, 肝臟病 및 內分泌係 疾患의 病歴이 없고 血壓이 140/90 mmHg 以下이고 理學的으로 異常所見이 없으며 心電圖上 異常所見이 없는 健康人 18例로 하였으며 左心室腔의 心 echo 圖上 擴張末期 左心室內徑指數가 3.4cm/M<sup>2</sup> 以下였다.

第二群: 心 echo 圖上 擴張末期 左心室後壁 및 心室中隔의 두께가 1.0cm 以下로서 左心室肥大가 없다고 料된 高血壓患者 18例로 하였다.

第三群: 心 echo 圖上 擴張末期 左心室後壁 혹은 心室中隔의 두께가 1.1cm 以上인 輕度의 左心室肥厚를 보인 高血壓性 心臟病患者 16例로 하였다.

第四群: 心 echo 圖上 擴張末期 左心室後壁 및 心室中隔의 두께가 모두 1.1cm 以上이고 左心室 擴張末期 內徑指數가 3.4cm/M<sup>2</sup> 以下인 高血壓性 心臟病患者 15例로

하였다.

第五群: 心 echo 圖上 擴張末期 左心室後壁 및 心室中隔의 두께가 모두 1.1cm 以上이고 擴張末期 左心室內徑指數가 3.4cm/M<sup>2</sup> 以上인 高血壓性 心臟病患者 5例로 하였다.

## 方 法

心 echo 圖檢查는 被檢者를 約 10分間 安靜시킨 후 實施하였고, 患者の 位置는 仰臥位를 取하도록 하였고, 記錄의 不良한 境遇에는 左側臥位를 取하도록 하였다. 檢查器는 SAN-EI Ultrasonic Cardiograph 2H 18A 와 2.25MHz transducer를 利用하였으며 左心室 및 大動脈根 心 echo 를 標準方法에 依해 30mm/sec의 速度로 strip chart recorder로 記錄하였다.

左心室腔의 크기는 左心室後壁의 心內膜緣에서 心室中隔의 左心內膜緣사이의 垂直距離를 leading to leading法으로 測定하였고, 擴張末期 左心室內徑(Dd), 左心

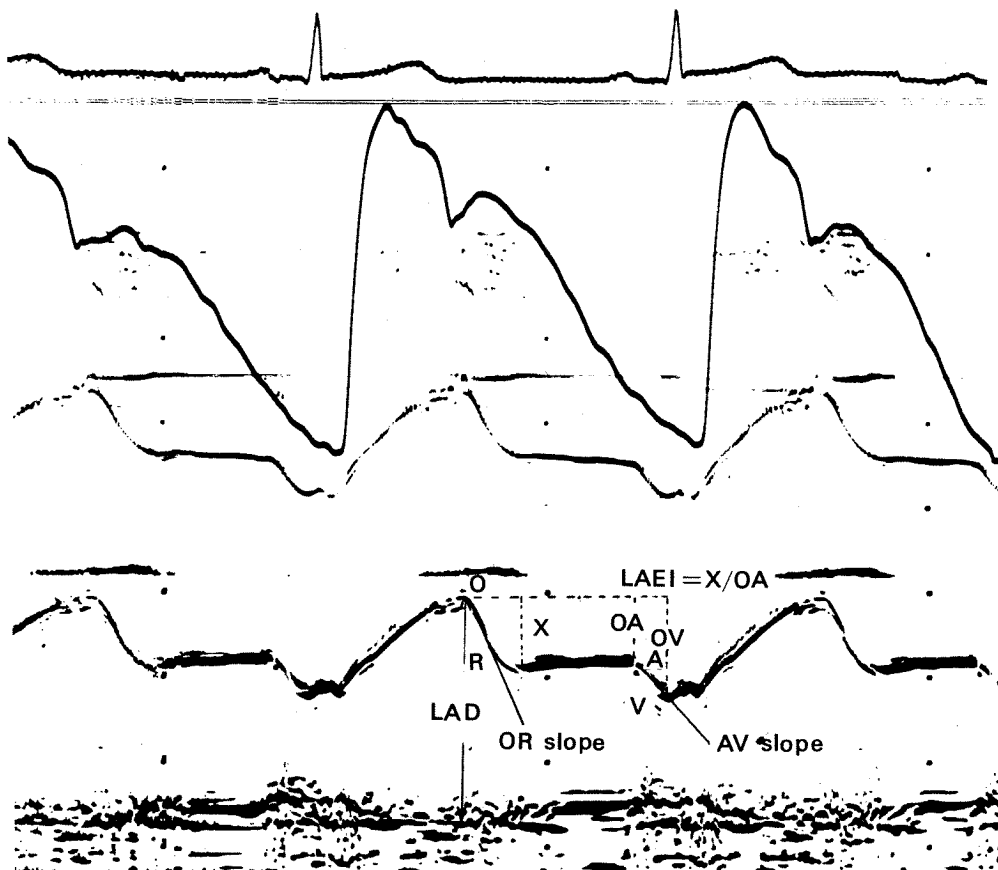


Fig. 2. An echocardiogram of the aortic root in a normal subject.

室後壁두께 (LVPWT) 및 心室中隔두께(IVST)는 心電圖의 R波의 頂點에서, 收縮末期 左心室內徑(Ds)은 收縮末期에 心室中隔이 가장 後方으로 움직인 點에서 測定하였고 (Fig. 1) % fractional shortening(% FS)은 Dd-Ds / Dd 로 算出하였다.

大動脈根心echo圖에서 左心室收縮末期에 大動脈根後壁이 가장 前方에 位置한 點을 O點, 左心室의 rapid passive emptying stage의 마지막 點을 R點, 心室擴張期 conduit phase의 末期에 갑자기 後方으로 運動하기 始作한 點을 A點, 大動脈根後壁이 最大한 後方運動한 點을 V點으로 表示하여 大動脈根後壁의 運動幅(OV)은 O點에서 V點까지의 垂直距離를, A波幅(AV)은 A點에서 V點까지의 垂直距離를 測定하였고 左心房直徑(LAD)은 O點에서 大動脈根後壁과 左心房後壁사이의 垂直距離를 leading to trailing法으로 測定하였다 (Fig. 2). 左心房 emptying index(LAEI)는 OA期間의 처음 1/3 동안에 大動脈根後壁이 運動한 距離 X를 測定하여 X/OA比率로 計算하였고 左心房의 rapid passive emptying stage인 O點에서 R點까지의 大動脈

根後壁의 後向速度(OR slope)와 心室收縮期始作直前 A點에서 V點間의 大動脈根後壁의 後向速度(AV slope)를 測定하였다 (Fig. 2).

## 結 果

各群의 年齡, 心搏數, 血壓 및 心echo圖上의 測定值들은 Table 1과 같다.

年齡 및 心搏數는 正常群에 比하여 高血壓患者各群에서 有意한 差는 없었으나 心搏數가 85回/分以上인患者는 二群에서 2例, 四群에서 3例, 五群에서 1例가 있었다. 擴張末期左心室內徑, % FS는 五群에서만 有意한 增加 및 減少(各各 p<0.001)를 보였다. 左心室後壁 및 心室中隔의 두께는 一群  $0.73\text{cm} \pm 0.11\text{SD}$  및  $0.70\text{cm} \pm 0.12\text{SD}$ 에 比하여 二群  $0.80\text{cm} \pm 0.12\text{SD}$ (p>0.05),  $0.73\text{cm} \pm 0.17\text{SD}$ (p>0.05), 三群  $1.08\text{cm} \pm 0.09\text{SD}$ (p<0.001),  $1.27\text{cm} \pm 0.30\text{SD}$ (p<0.001), 四群  $1.36\text{cm} \pm 0.24\text{SD}$ (p<0.001),  $0.32\text{cm} \pm 0.20\text{SD}$ (p<0.001), 五群  $1.50\text{cm} \pm 0.27\text{SD}$ (p<0.001),  $0.42\text{cm} \pm 0.23\text{SD}$ (p<0.001)로서 二群을 除

Table 1. Age, blood pressure, heart rate and echocardiographic data in normal and various groups of hypertensive subjects

	Group I	Group II	Group III	Group IV	Group V
No. of pt	18	17	16	15	5
Age(yr)	$47 \pm 15$	$46 \pm 15$	$52 \pm 12$	$55 \pm 16$	$60 \pm 6$
BP(mmHg)	$117 \pm 10/74 \pm 8$	$116 \pm 15/103 \pm 11$	$179 \pm 32/109 \pm 14$	$197 \pm 31/123 \pm 20$	$173 \pm 19/116 \pm 14$
HR( /min)	$63 \pm 9$	$72 \pm 11$	$66 \pm 8$	$71 \pm 16$	$64 \pm 13$
Dd(cm)	$4.89 \pm 0.29$	$4.97 \pm 0.24$	$5.10 \pm 0.52$	$5.18 \pm 0.75$	$5.84 \pm 0.47$
FS(%)	$36 \pm 4$	$35 \pm 6$	$34 \pm 8$	$32 \pm 13$	$16 \pm 4$
LVPWT(cm)	$0.73 \pm 0.11$	$0.80 \pm 0.12$	$1.08 \pm 0.09$	$1.36 \pm 0.24$	$1.50 \pm 0.27$
IVST(cm)	$0.70 \pm 0.12$	$0.73 \pm 0.17$	$1.27 \pm 0.30$	$1.32 \pm 0.20$	$1.42 \pm 0.23$
LAD(cm)	$2.98 \pm 0.43$	$3.38 \pm 0.61$	$3.40 \pm 0.54$	$3.87 \pm 0.84$	$3.74 \pm 0.28$
OV(mm)	$10.1 \pm 1.8$	$8.5 \pm 1.9$	$7.2 \pm 1.5$	$6.3 \pm 2.7$	$4.8 \pm 1.0$
AV(mm)	$4.0 \pm 0.6$	$3.8 \pm 0.9$	$4.1 \pm 0.7$	$3.2 \pm 1.4$	$2.8 \pm 0.3$
AV/OV	$0.40 \pm 0.08$	$0.46 \pm 0.13$	$0.58 \pm 0.11$	$0.51 \pm 0.10$	$0.59 \pm 0.12$
OR slope(mm/sec)	$72 \pm 17$	$46 \pm 20$	$28 \pm 10$	$25 \pm 11$	$13 \pm 4$
AVslope(mm/sec)	$52 \pm 10$	$60 \pm 17$	$54 \pm 14$	$47 \pm 19$	$32 \pm 10$
LAEI	$1.09 \pm 0.16$	$0.91 \pm 0.27$	$0.98 \pm 0.46$	$0.86 \pm 0.36$	$1.04 \pm 0.25$

\* p < 0.05, \*\* p < 0.01, \*\*\* p < 0.001

Abbr. BP : blood pressure, HR : heart rate, Dd : left ventricular end-diastolic dimension, FS : fractional shortening, LVPWT : left ventricular posterior wall thickness, IVST : interventricular septal thickness, LAD : left atrial dimension, LAEI : left atrial emptying index.

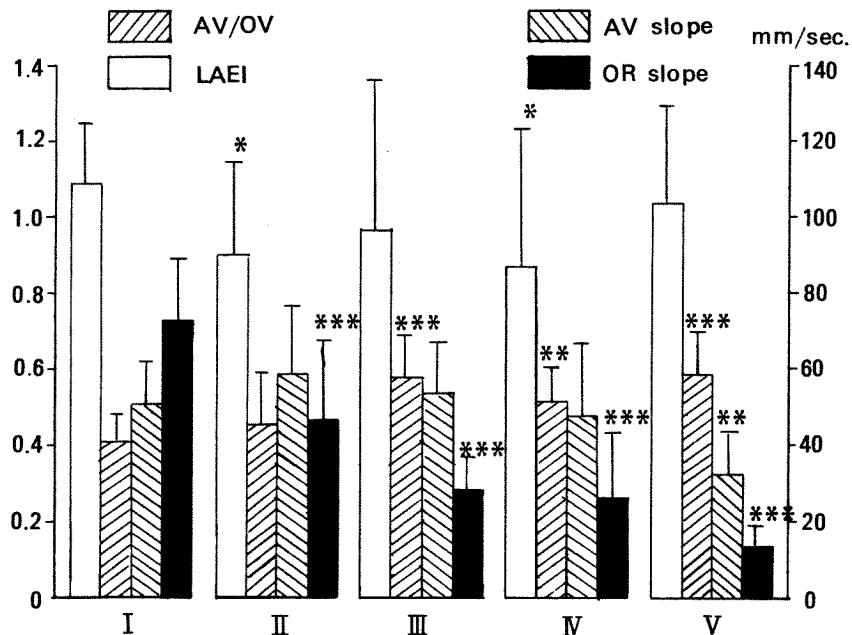


Fig. 3. Changes of AV/OV, left atrial emptying index, OR slope and AV slope in normal and various groups of hypertensive subjects.

外한 다른 群에서는 모두 有意하게 增加되었다.

左心房의 直徑은 一群  $2.98 \text{ cm} \pm 0.43 \text{ SD}$ 에 比하여 二群  $3.38 \text{ cm} \pm 0.61 \text{ SD}$  ( $p < 0.05$ ), 三群  $3.40 \text{ cm} \pm 0.54 \text{ SD}$  ( $p < 0.05$ ), 四群  $3.87 \text{ cm} \pm 0.84 \text{ SD}$  ( $p < 0.001$ ) 및 五群  $3.74 \text{ cm} \pm 0.28 \text{ SD}$  ( $p < 0.01$ )로서 全 高血壓 患者群에서 有意한 增加를 보였고 一群에 比하여 OV는 全 高血壓 患者群에서, AV는 四群 및 五群에서 有意한 減少를 보였다. AV/OV는 一群  $0.40 \pm 0.08$ 에 比하여 二群  $0.46 \pm 0.13$  ( $p > 0.05$ ), 三群  $0.58 \pm 0.11$  ( $p < 0.001$ ), 四群  $0.51 \pm 0.10$  ( $p < 0.01$ ), 五群  $0.59 \pm 0.12$  ( $p < 0.001$ )로서 二群을 除外한 全 高血壓 患者群에서 有意한 增加를 보였고 AV/OV는 %FS ( $r = -0.251$ ,  $p < 0.05$ ) 및 LVPWT ( $r = 0.350$ ,  $p < 0.01$ )과 有關하였으며 LAEI는 一群  $1.09 \pm 0.16$ 에 比하여 二群  $0.91 \pm 0.27$  ( $p < 0.050$ ), 三群  $0.98 \pm 0.46$  ( $p > 0.05$ ), 四群  $0.86 \pm 0.36$  ( $p < 0.05$ ) 및 五群  $1.04 \pm 0.25$  ( $p > 0.05$ )로서 二群 및 四群에서만 有意한 增加를 보였다 (Fig. 3).

OR slope는 一群  $72 \pm 17 \text{ mm/sec}$ 에 比해 二群  $46 \pm 20 \text{ mm/sec}$  ( $p < 0.01$ ), 三群  $28 \pm 10 \text{ mm/sec}$  ( $p < 0.01$ ), 四群  $25 \pm 11 \text{ mm/sec}$  ( $p < 0.001$ ), 五群  $13 \pm 4 \text{ mm/sec}$  ( $p < 0.001$ )로서 全 高血壓 患者群에서 有意한 減少를 보였으며, 二群患者中 左心房直徑이 一群의 最高值  $3.83 \text{ cm}$  보다 적은 13例에서 OR slope는  $50 \pm 22 \text{ mm/sec}$ 로서 一群에 比해 有意한 減少를 보였다 ( $p < 0.01$ ). OR slope는 心搏數에

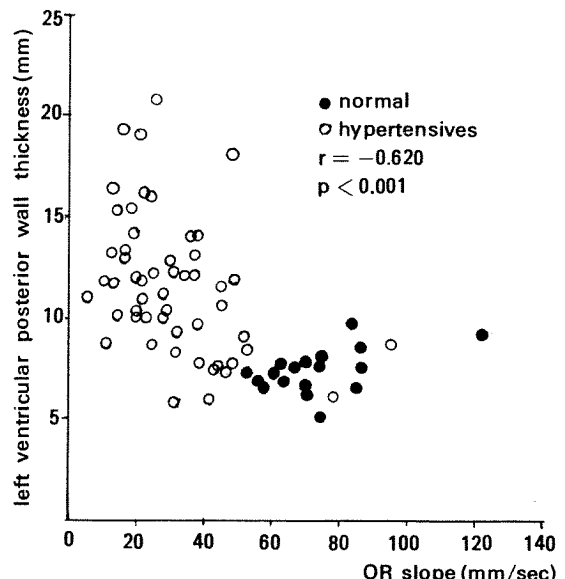


Fig. 4. Velocity of OR slope of posterior aortic wall plotted against the thickness of the left ventricular posterior wall in normal and hypertensive subjects.

는 無關하고 左心室 擴張末期內徑 ( $r = 0.294$ ,  $p < 0.05$ ), %FS ( $r = 0.270$ ,  $p < 0.05$ ), 左心室後壁 두께 ( $r = -0.620$ ,  $p < 0.001$ ) 및 左心房直徑 ( $r = -0.379$ ,  $p < 0.01$ )과 有關

하나(Fig. 4) 다른要素의影響을除去한偏相關係數는左心室後壁두께( $r_p = -0.505, p < 0.001$ )에서 매우有意하였고左心房直徑( $r_p = -0.253, p < 0.05$ )에서多少有意하였다.

AV slope는一群 $52 \pm 10 \text{mm/sec}$ 에比해二群 $60 \pm 17 \text{mm/sec}$ ( $p > 0.05$ ),三群 $54 \pm 14 \text{mm/sec}$ ( $p > 0.05$ ),四群 $47 \pm 19 \text{mm/sec}$ ( $p > 0.05$ ),五群 $32 \pm 10 \text{mm/sec}$ 로서五群에서만有意한減少를보였고AV slope는心搏數 및擴張期左心室內徑에는無關하나%FS( $r = 0.433, p < 0.001$ )및左心室後壁두께( $r = -0.376, p < 0.01$ )에有關하였고서로의影響을除去한偏相關係數는%FS( $r_p = 0.316, p < 0.01$ )에만有意의이었다.

AV slope/OR slope는一群에서는모두1以下였고二群에서는2例만1이하였고三,四,五群에서는모두1以上이었다.

### 考 按

高血壓患者에서左心房의變化는 Tarazi等<sup>5)</sup>이처음報告한以來高血壓性心臟病의收縮期機能과關係가있다는報告는많으나<sup>16)</sup>,左心房의變化가左心室의擴張期機能의異狀에既因됨을證明하는研究는거의없다<sup>3)</sup>.高血壓患者에서의左心室의機能에對한지금까지의大部分의研究는左心室의收縮期機能에대해서이루어졌고<sup>1)</sup>最近에야心不全이나左心室肥大가發生하기前에오는左心室의變化를일기위하여左心室의擴張期機能에關한研究가行하여지고있으며<sup>3,4)</sup>,高血壓性心臟病에서는心筋의compliance는正常이고<sup>7)</sup>左心室의肥厚에따른series-elastic component와parallel-elastic component의增加結果overall ventricular compliance가減少되므로<sup>8)</sup>左心室compliance는주로左心室後壁의肥厚의程度에依해左右된다.

大動脈根後壁運動은大動脈의stiffness,收縮期中心運動 및心室의驅血等에影響받을可能性이있으나主로左心房의容積變化에起因되며<sup>9)</sup>左心房後壁은거의固定되어있어左心房의容積變化는主로大動脈根後壁運動에左右되므로<sup>9)</sup>이는結局僧帽瓣膜의異狀有無나左心室compliance의變化에依해決定될것으로믿어지고있으며<sup>3,10,11)</sup>,實際로大動脈根心echo圖上AV/OV나LAEI가左心室compliance의指標로利用되고있다<sup>3,7)</sup>.

大動脈後壁의presystolic wave amplitude(AV)는左心房의收縮과左心室의compliance或은擴張末期左心室內壓과의關係에서決定되며AV/OV는左心室의compliance가減少되는境遇增加되며<sup>11)</sup>心週期의同一한

時刻에일어나는心尖搏動圖上의a/OE도擴張末期左心室의compliance를잘反映한다<sup>12)</sup>.그러나AV는左心房이收縮하여左心室의內壓이增加된狀態에서左心房의內徑의變化를意味하므로chamber stiffness의係數의變化없이도瞬間作用chamber stiffness가增加되므로이에依한左心室compliance의判定은誤差가생길可能性이크며著者の結果에서도AV/OV와左心室後壁의두께와의相關係數는별로높지않음을알수있다.

LAEI는처음僧帽瓣狹窄症의程度및手術效果의判定에매우有用하다하여<sup>10)</sup>臨床에서많이利用되고있으나左心室의compliance가減少되는冠狀動脈疾患,肥厚性心筋症等에서減少된다는報告以後<sup>13)</sup>左心室의compliance의指標로利用되고있다<sup>3)</sup>.Dreslinski等<sup>3)</sup>은高血壓患者에서左心房의擴張이나타나기前부터LAEI는減少된다하였고 이를左心室의compliance의減少로說明하였다.그러나LAEI는心搏數가增加된境遇 심히減少하고<sup>10)</sup>測定이複雜한短點이있다.著者の結果에서LAEI가左心室肥厚를잘反映하지않는점도心搏數가85以上인例가6例있었고心echo圖의記錄速度가느렸기때문에생긴誤差라고推測된다.

反面著者が測定한OR slope는左心房의rapid passive emptying phase에서左心房의直徑의變化速度를測定한것으로서LAEI와類似한指標이나左心室機能이나心搏數에影響을받지않았으며이는LAEI와는달리conduit phase를除外시켜心搏數와無關한것으로思料되며左心室內壓이比較的낮은rapid filling stage에일어나는現象이므로左心室機能에影響받지않을것으로思料되며左心室後壁두께와相關係數가다른指標들보다높은것으로보아左心室의compliance를나타내주는매우좋은非觀血의指標로使用될수있을것으로생각된다.

AV slope는左心室機能과Left心室後壁두께와有關하나後壁두께의偏相關係數가有意의이아닌것으로보아AV slope는主로左心室機能과有關하며左心室機能이維持되고있는時期에는AV slope가거의正常으로維持되므로左心室機能이正常인患者에서는AV slope는OR slope의判斷基準으로利用될수있다.著者の結果에서正常人에서는모두OR slope는AV slope보다작지않으나左心室後壁의두께가正常인高血壓患者群에서2例를除外한全例에서OR slope가AV slope보다크지않은OR slope의銳敏性和簡便性을보여준다하겠다.

또한OR slope는左心房이擴張됨에따라多少減少될수있으나OR slope가左心房의直徑이正常인高

血壓患者에서도 減少되고, 左心室後壁두께 等이 左心房의 크기에 미치는 影響을 除去한 左心房直徑의 偏相關係數가 낮은 것으로 보아 左心房直徑의 增加는 결국 微少한 左心室充血障礙에 依한 OR slope의 減少에 따른 二次の 變化라고 思料된다.

그러나 著者は 觀血的方法에 의한 左心室 compliance指標들과 比較하지 않았고 大動脈壁의 stiffness에 依한 影響을 考慮하지 않았으므로 이에 대한 더 많은 研究가 있어야 할 것으로 思料된다.

### 結論

高血壓性 心臟病에서 心室擴張期中 左心房直徑의 變化速度를 알기 為하여 正常人 18例와 高血壓患者 53例를 對象으로 大動脈根과 左心室腔 echo圖를 記錄하여 左心房의 rapid emptying 時期의 OR slope와 心房收縮期의 A-V slope를 測定하였다.

OR slope는 高血壓患者群에서 左心室肥厚 혹은 左心房擴張이 나타나기 以前부터 有意하게 減少되어 高血壓이 進行됨에 따라 漸次 減少되었고 이는 左心室後壁의 두께와 매우 有意한 相關關係를 가졌고 ( $r=-0.62$ ,  $p < 0.001$ ), 左心房直徑과도多少의 相關關係 ( $r=-0.379$ ,  $p < 0.01$ )를 가졌으며, AV slope는 左心室機能指標인 %FS에 만 有意하였다 ( $r=0.433$ ,  $p < 0.001$ ).

以上의 結果에서 OR slope는 左心室 compliance를 나타내는 좋은 指標임을 示唆했고 AV slope는 左心室機能을 나타내는 指標임을 示唆했으며 高血壓性 心臟病에서는 左心室의 肥厚나 左心房의 擴張이 나타나기 前에 左心室 compliance가 減少됨을 示唆했다.

### REFERENCES

- 1) Dunn, F.G., Chandratna, P., deCarvalho, J.G.R., Basta, L.L. and Frohlich, E.D. : Pathophysiologic assessment of hypertensive disease with echocardiography. *Am. J. Cardiol.*, 39: 789, 1977.
- 2) Grossman, W., Stefadouros, M.A., McLaurin, L.P., Rolett, E.L. and Young, D.T. : Quantitative assessment of left ventricular diastolic stiffness in man. *Circulation*, 47: 567, 1973.
- 3) Dreslinski, G.R., Frohlich, E.D., Dunn, F.G., Messerli, F.H., Suarez, D.H. and Resin, E. : Echocardiographic diastolic ventricular abnormality in hypertensive heart disease : atrial emptying index. *Am. J. Cardiol.*, 47: 1087, 1981.
- 4) Hanrath, P., Mathey, D.G., Siegert, R. and Bleifeld, W. : Left ventricular relaxation and filling pattern in different forms of left ventricular hypertrophy : an echocardiographic study. *Am. J. Cardiol.*, 45: 15, 1980.
- 5) Tarazi, R.C., Miller, A., Frohlich, E.D. and Dustan, H.P. : Electrocardiographic changes reflecting left atrial abnormality in hypertension. *Circulation*, 34: 818, 1966.
- 6) Frohlich, E.D., Tarazi, R.C. and Dustan, H.P. : Clinical-physiologic correlations in the development of hypertensive heart disease. *Circulation*, 44: 446, 1971.
- 7) Strauer, B.E. : Hypertensive heart disease. Springer, Berlin-Heidelberg-New York, 1980.
- 8) Grasch, W.H., Levine, H.J., Quinones, M.A. and Alexander, J.K. : The heart in hypertension. *Am. J. Cardiol.*, 38: 645, 1976.
- 9) Strunk, B.L., Fitzgerald, J.W., Lipton, M., Popp, R.L. and Barry, W.H. : The posterior aortic wall echocardiogram - its relationship to left atrial volume change. *Circulation*, 54: 744, 1976.
- 10) Strunk, B.L., London, E.J., Fitzgerald, J., Popp, R.L. and Barry, W.H. : The assessment of mitral stenosis and prosthetic mitral valve obstruction, using the posterior aortic wall echogram. *Circulation*, 55: 885, 1977.
- 11) Tye, K.-H., Desser, K.B. and Benchimol, A. : Relation between apexcardiographic a wave and posterior aortic wall motion. *Am. J. Cardiol.*, 43: 24, 1979.
- 12) Gibson, T.C., Madry, R., Grossman, W., McLaurin, L.P. and Craige, E. : The a wave of the apexcardiogram and left ventricular diastolic stiffness. *Circulation*, 49: 441, 1974.
- 13) Hammermeiter, K.E. and Warbasse, J.R. : The rate of change of left ventricular volume in man. Diastolic events in health and disease. *Circulation*, 49: 739, 1974.